

А. П. БОРОНИН, Ю. А. МЕДВЕДЕВ, Б. М. СТЕПАНОВ

КОРОТКОВОЛНОВОЕ РАДИОИЗЛУЧЕНИЕ И УДАРНАЯ ВОЛНА ВЗРЫВА

(Представлено академиком С. А. Христиановичем 3 VII 1969)

1. Многочисленные явления как естественного (грозовые разряды, метеоры и т. д.), так и искусственного (вспышки ионизирующей радиации, взрывные процессы и др.) происхождения сопровождаются импульсами электромагнитного поля. В настоящее время опубликован ряд работ, в которых рассмотрены механизмы трансформации различных физических факторов в электромагнитном поле (⁽¹⁻⁷⁾ и др.), а также ряд работ, посвященных экспериментальному изучению зависимости характеристик возбуждаемого поля от параметров исходного процесса (см., например, ⁽⁸⁻¹²⁾).

Может быть сформулирована и обратная задача, состоящая в определении параметров процессов по зарегистрированным характеристикам сопровождающего их импульсного поля.

В данной статье рассмотрена одна из таких задач: регистрация и изучение временных характеристик коротковолнового излучения взрыва зарядов твердого в.в. позволяют оценить в определенные моменты времени состояние ионизации газа за ударной волной, а также выявить компонент, вносящий основной вклад в электронную плотность при термической ионизации газа.

2. В проведенных экспериментах коротковолновое поле радиоизлучения *, сопровождающее подрыв (огневым способом) сферических зарядов типа ТГ 50/50, принималось на штыревые антенны длиной 1 м, расположенные на расстоянии 1,5 м от центра взрыва. Выделение и регистрация временной зависимости составляющих поля радиоизлучения в различных участках спектра осуществлялись при помощи коротковолновых приемников типа ESM-180, ESM-300 (полоса пропускания $\Delta f = 200$ кГц) Р-250М (полоса 14 кГц) и осциллографов ОК-17, запускаемых от светового импульса. Сигналы регистрировались после детектирования, а также после усилителя промежуточной частоты (у.п.ч.). Промежуточная частота приемников типа ESM 3 МГц, и типа Р-250М 220 кГц. Исследовалась лишь область частот выше 1 МГц, поскольку регистрация поля в области ниже 1 МГц резко затруднялась из-за возрастания уровня помех, создаваемых радиостанциями. Одновременно регистрировался интегральный по времени спектр светового излучения взрыва на спектрографе ИСП-51.

3. Обнаружено, что амплитуда сигнала радиоизлучения убывает с увеличением частоты, так что на частотах выше 100 МГц уровень сигнала не превышает чувствительности приемников (~ 1 мв). Сигнал с приемника после детектирования имеет вид последовательности всплесков, длительностью $1 / \Delta f \sim 5$ мсек. каждый, возникающих со случайной амплитудой и фазой. Характерно, что сигнал появляется спустя время t_0 с момента взрыва, причем t_0 зависит от энергии взрыва и частоты. Время появления сигнала более четко выражено на осцилограммах, снятых с у.п.ч. Одна из них представлена на рис. 1. Верхний луч — радиоизлучение на частоте 90 МГц, нижний — на 1,5 МГц. Масса заряда 600 г, длительность развертки

* Проведенное в ⁽¹⁰⁾ изучение зависимости поля от расстояния до взрыва показало, что в исследуемом частотном диапазоне регистрируется радиоизлучение, а не квазистатическая или индукционная наводка ближней зоны, изучавшаяся в ^(11, 12). Это обстоятельство использовано ниже при интерпретации и количественной обработке результатов экспериментов.

400 мсек. Видно, что излучение на высокой частоте появляется позже, чем на более низкой.

При подрыве зарядов с массами 50; 100; 225 и 600 г оказалось (см. рис. 2), что на фиксированной частоте f момент времени t_0 в пределах точности измерений удовлетворяет условию автомодельности

$$t_0 = t_0^0(f) m_{\text{кг}}^{1/3}, \quad (1)$$

причем зависимость $t_0^0(f)$ слабая — примерно логарифмическая.

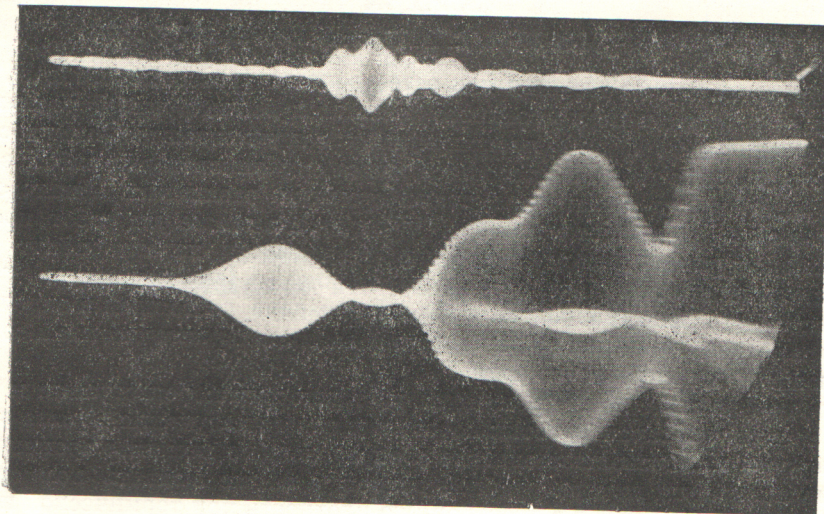


Рис. 1

Основные из обнаруженных экспериментальных фактов могут быть объяснены, если предположить, что коротковолновое радиоизлучение генерируется продуктами взрыва и в течение времени t_0 экранируется термически ионизованным слоем прогретого воздуха ударной волны — передняя граница продуктов взрыва. В этом случае явление не должно быть строго автомодельным, поскольку, помимо газодинамических величин, характеризующих взрыв, имеется еще неавтомодельный параметр — длина волн при принимаемого радиоизлучения. Поэтому, хотя в момент времени $t_0 = t_0^0(f) m_{\text{кг}}^{1/3}$ состояние газа в прогретом слое одно и то же, тем не менее ослабление радиоволны определяемой частоты различно для взрывов разных масштабов вследствие различий в соответствующих толщинах прогретого слоя. Однако соотношение газа весьма сильно (экспоненциально) определяет поглощение, тогда как неавтомодельный параметр, нарушающий автомодельность явления, входит в предэкспоненциальный множитель, что и объясняет наблюдаемый автомодельный характер зависимости (1).

Поскольку в данном случае частота соударений заряженных частиц выше исследованных частот, то при любом механизме проводимости (электронном и ионном) поглощение возрастает с увеличением частоты, что объясняет наблюдаемое запаздывание момента появления высокой частоты относительно низкой. Экспоненциальная зависимость степени ионизации

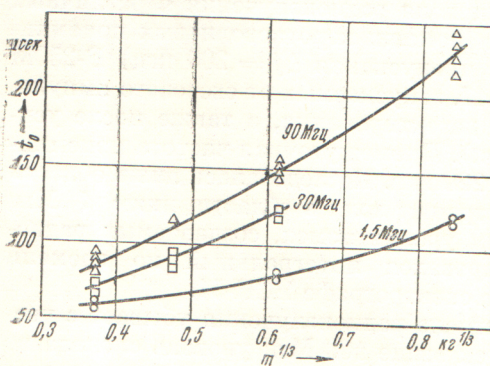


Рис. 2

ствии различий в соответствующих толщинах прогретого слоя. Однако соотношение газа весьма сильно (экспоненциально) определяет поглощение, тогда как неавтомодельный параметр, нарушающий автомодельность явления, входит в предэкспоненциальный множитель, что и объясняет наблюдаемый автомодельный характер зависимости (1).

Поскольку в данном случае частота соударений заряженных частиц выше исследованных частот, то при любом механизме проводимости (электронном и ионном) поглощение возрастает с увеличением частоты, что объясняет наблюдаемое запаздывание момента появления высокой частоты относительно низкой. Экспоненциальная зависимость степени ионизации

ции от состояния (температуры) газа в слое приводит к логарифмической зависимости $t_0^0(f)$. Механизм возбуждения радиоволн продуктами взрыва в данной статье не исследуется.

4. Такая трактовка результатов эксперимента допускает простое и достаточно полное количественное описание.

Если принять, что проводимость воздуха в прогретом слое обвязана электронам, концентрация которых может быть вычислена по формуле Саха, то условие ослабления в e раз радиоволн, генерируемых продуктами взрыва, в прогретом слое толщиной Δ в момент времени t_0 можно представить в виде

$$\frac{\sqrt{2\pi f}}{c} \int_0^\Delta \left\{ \left[1 + \frac{1,23 \cdot 10^{31} T^{3/2}(r, t_0)}{P(r, t_0) \cdot 2\pi f} \exp \left[-\frac{I}{kT(r, t_0)} \right] \right]^{1/2} - 1 \right\}^{1/2} dr, \quad (2)$$

где $T(r, t_0)$ и $P(r, t_0)$ — распределение абсолютной температуры и давления в атмосферах вдоль радиуса в момент времени t_0 ; r отсчитывается от передней границы продуктов взрыва, I — эффективный потенциал ионизации компонента, ответственного за рождение электронов; k — постоянная Больцмана.

Если распределение температуры $T(r, t_0)$ известно, то критерием применимости соотношения (2) для описания экспериментальных результатов может служить совпадение какого-либо постоянного параметра, найденного из (2) для разных опытов (различных t_0 и f). В ка-

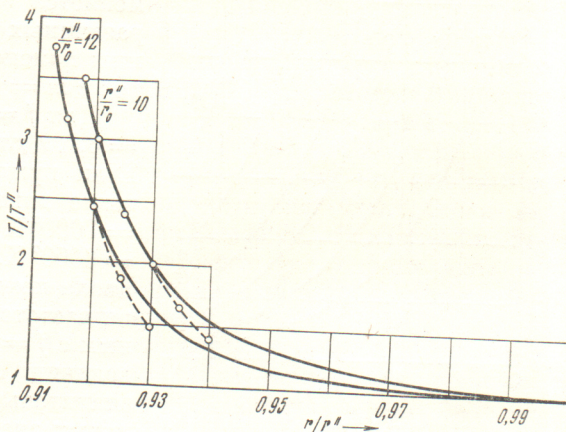


Рис. 3

честве такого параметра целесообразно выбрать эффективный потенциал ионизации I , поскольку соотношение (2) весьма чувствительно к изменению величины I .

Проверим выполнение условия (2) в моменты появления радиоизлучения взрыва $t = 225$ г на частотах 1,5 и 30 МГц. Этим моментам времени соответствуют значения радиусов ударной волны $r'' = 10r_0$ и $r'' = 12r_0$ ⁽¹³⁾ (r_0 — начальный радиус заряда). Насколько нам известно, в настоящее время проведены прямые измерения распределения давления за фронтом ударной волны ⁽¹³⁾, а экспериментальных данных о распределении температуры нет. Поэтому распределения температур за фронтом в интересующие нас моменты времени найдены по измеренным распределениям давлений и вычисленным распределениям плотности ⁽¹³⁾ с привлечением данных по термодинамическому состоянию воздуха ⁽¹⁴⁾ при этих температурах и плотностях. Отметим, что для дальнейшего важны не столько абсолютные, сколько относительные распределения температур за фронтом ударной волны. Найденные относительные распределения температур за фронтом изображены на рис. 3 (T'' — температура фронта).

В наиболее существенной области вблизи границы продуктов взрыва распределение температуры $T(x)$ может быть интерполировано в виде

$$T(x) = T' \exp(-\beta x), \quad 0 \leq x \leq x_0; \quad (3)$$

$T' = T(0)$ — относительная температура на передней границе продуктов взрыва; x — расстояние от границы в единицах радиуса ударной волны r'' .

Для $r'' = 10r_0$ $T' = 7000^\circ\text{K}$, $\beta = 52,5$, $x_0 = 0,027$, $T(x_0) = 2800^\circ\text{K}$, $P(0) = 31,5$ атм, $P(x_0) = 34,5$ атм, $T'' = 2000^\circ\text{K}$. Для $r'' = 12r_0$ $T' =$

$= 6000^{\circ}\text{K}$, $\beta = 61$, $x_0 = 0,022$, $T(x_0) = 2200^{\circ}\text{K}$, $T'' = 1600^{\circ}\text{K}$, $P(0) = 22 \text{ atm}$, $P(x_0) = 24 \text{ atm}$.

При вычислении (2) давление в области $x \leq x_0$ может быть положено постоянным и равным $P(0)$. Левая часть соотношения (2) с учетом (3) представляется в виде

$$F(A, a) = b \int_1^d \left\{ \left[1 + \frac{a}{y^{3/2}} \exp(-Ay) \right]^{1/2} - 1 \right\}^{1/2} \frac{dy}{y}, \quad (4)$$

где $A = I/kT'$, $a = 4,3 \cdot 10^{15} T'^{3/2}$, $b = 2,2 \cdot 10^{-4} m^{1/3} \text{кг}^{1/3}$, $d = 4,2$ для $f = 1,5 \text{ МГц}$ и $a = 1,5 \cdot 10^{13} T'^{3/2}$, $b = 4,6 \cdot 10^{-3} m^{1/3} \text{кг}^{1/3}$, $d = 3,9$ для $f = 30 \text{ МГц}$.

Зависимость F от параметра A (результаты численного интегрирования) для $m = 225 \text{ г}$ при различных значениях предэкспоненциального

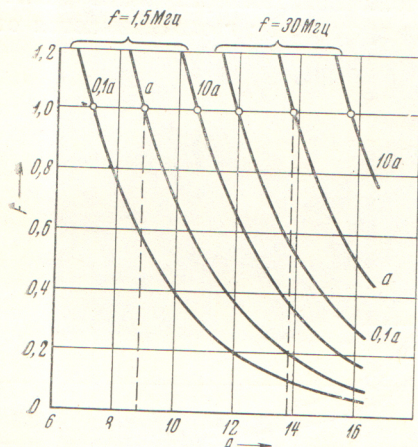


Рис. 4

множителя a для 1,5 и 30 МГц изображены на рис. 4. В тех же пределах изменяется значение A (при $F = 1$) для различных значений b , соответствующих изменениям энергии взрыва зарядов с $m = (50 \div 600) \text{ г}$.

Для $f = 1,5 \text{ МГц}$ получаем $I/kT' = 8,9$, а для $f = 30 \text{ МГц}$ $I/kT' = 13,9$. Если принять на основе приведенных выше данных для $f = 1,5 \text{ МГц}$ $T' = 7000^{\circ}\text{K}$ и для $f = 30 \text{ МГц}$ $T' = 6000^{\circ}\text{K}$, то получаем значение потенциала ионизации $I = 5,35 \text{ эв}$ из данных на частоте 1,5 МГц и $I = 7,2 \text{ эв}$ по данным с $f = 30 \text{ МГц}$. Различие найденных величин I , по-видимому, объясняется значительной неопределенностью принятых значений величины T' . Полученные значения потенциала ионизации

ближе всего к потенциальному ионизации натрия ($I = 5,14 \text{ эв}$). Ближайшее значение потенциала ионизации составляет у NO 9,5 эв.

Проведенные в данных экспериментах дополнительные спектрографические исследования спектра свечения взрыва показали, что, помимо сплошного спектра, присутствует интенсивная D -линия натрия.

Если основным источником ионизации воздуха за фронтом ударной волны является примесь натрия, то следует принять значение потенциала ионизации в (4) $I = 5,14 \text{ эв}$. Тогда могут быть уточнены значения температуры на контактной поверхности взрыва: $T' = 6700^{\circ}\text{K}$ для $r'' = 10r_0$ и $T' = 4300^{\circ}\text{K}$ для $r'' = 12r_0$ вместо 7000 и 6000°К соответственно.

В заключение благодарим В. А. Полторацкого за снятие спектра и Е. Т. Антошкина — за помощь в проведении радиоизмерений.

Поступило
3 VII 1969

ЦИТИРОВАННАЯ ЛИТЕРАТУРА

- ¹ А. С. Компанеец, ЖЭТФ, 35, в. 6 (12) (1958). ² V. Gilinsky, Phys. Rev., 137, № 1A, A51 (1965). ³ W. J. Karzas, R. Latter, J. Geophys. Res., 67, № 12 (1962). ⁴ О. И. Лейпунский, ЖЭТФ, 38, 302 (1960). ⁵ В. В. Иванов, Ю. А. Медведев, Астр. журн., 11, № 6, 1118 (1964). ⁶ В. В. Иванов, Ю. А. Медведев, Геомагнетизм и аэрономия, 5, № 2, 284 (1965). ⁷ Ю. А. Медведев, Б. М. Степанов, Г. В. Федорович, ЖТФ, 37, № 11, 2084 (1967). ⁸ M. A. Cook, The Science of High Explosives, N. Y., 1958. ⁹ W. H. Anderson, C. L. Long, J. Appl. Phys., 36, № 4 (1965). ¹⁰ T. Takakura, Publ. Astr. Soc. Japan, 7, 210 (1955). ¹¹ Л. М. Горшунов, Г. П. Конопенко, Е. И. Сиротинич, ЖЭТФ, 53, в. 3 (9) (1967). ¹² А. П. Боронин, В. А. Вельмин и др., ПМТФ, № 6 (1968). ¹³ В. В. Адушкин, Там же, № 5 (1963). ¹⁴ Н. М. Кузнецов, Термодинамические функции и ударные адиабаты воздуха при высоких температурах, М., 1965.